

# Отчет по заданию №1

студента 620 группы Бугаевского Владимира.

Вариант 5

## 1 Постановка задачи и описание алгоритма

В данном варианте предлагалось исследовать масштабируемость алгоритма решения СЛАУ  $Ax = b$  после  $LU$ -факторизации. Элементы матрицы  $A$  и вектора правой части  $b$  являются действительными числами.

Отметим, что матрица  $A$  должна быть не вырожденной для того, чтобы система была совместной при любой правой части  $b$  (см. т. Кронекера – Капелли). Для генерации такой матрицы воспользуемся алгоритмом, предложенным в условии задания:

1. сгенерируем диагональную матрицу  $D$  со случайными ненулевыми элементами;
2. домножим диагональную матрицу  $D$  симметричным двусторонним умножением на ортогональную матрицу  $Q$ :  $A = Q'DQ$ .

Напомним, что  $LU$ -разложение – представление матрицы в виде:

$$A = PLU \quad (1)$$

где  $P$  – перестановочная матрица,  $L$  – нижняя треугольная матрица с единичной диагональю,  $U$  – верхняя треугольная матрица с ненулевыми элементами на диагонали.

Для удобства, не ограничивая общности, будем полагать, что матрица  $P$  является единичной. Таким образом, задача сводится к последовательному решению двух СЛАУ с треугольными матрицами:

$$Ax = LUx = Ly = b$$

$$Ux = y \quad (2)$$

$$Ly = b \quad (3)$$

Рассмотрим алгоритм решения СЛАУ с верхней треугольной матрицей (2):

$$\begin{pmatrix} u_{11} & u_{12} & \dots & u_{1(n-1)} & u_{1n} \\ 0 & u_{22} & \dots & u_{2(n-1)} & u_{2n} \\ \vdots & \vdots & \ddots & \vdots & \vdots \\ 0 & 0 & \dots & u_{(n-1)(n-1)} & u_{(n-1)n} \\ 0 & 0 & \dots & 0 & u_{nn} \end{pmatrix} * \begin{pmatrix} x_1 \\ x_2 \\ \vdots \\ x_{n-1} \\ x_n \end{pmatrix} = \begin{pmatrix} y_1 \\ y_2 \\ \vdots \\ y_{n-1} \\ y_n \end{pmatrix}$$

Удобно вычислить сначала  $x_n$ , затем  $x_{n-1}$  и т.д. Тогда легко видеть, что решение системы выглядит следующим образом:

$$x_n = y_n / u_{nn}$$
$$x_i = \left( y_i - \sum_{j=i+1}^n u_{ij} x_j \right) / u_{ii} ; i = \overline{1, n-1}$$

Алгоритм решения выглядит следующим образом:

Листинг 1: "Псевдокод алгоритма решения СЛАУ (2)"

```
for i in range(n, 1, -1):
    s = 0
    for j in range(n, i+1, -1):
        s = s + U[i, j] * x[j]
    x[i] = (y[i] - s) / U[i, i]
```

На рисунке 1 изображена информационная структура для задачи СЛАУ с верхней треугольной матрицей.

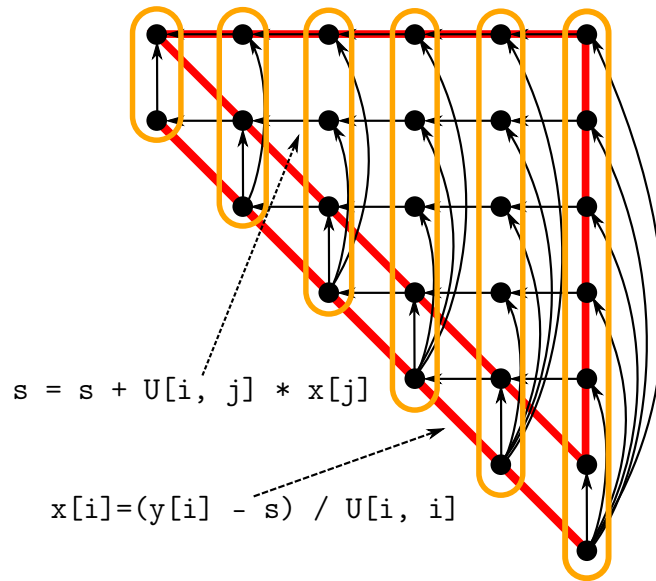


Рис. 1: Информационная структура для задачи (2)

Вычисление суммы  $s$  можно осуществлять параллельно, а вычисление решения  $x_i$  — последовательно. Критический путь графа алгоритма имеет длину  $o(N)$ , поэтому алгоритм обладает хорошим ресурсом параллелизма.

Рассуждения для алгоритма решения СЛАУ с нижней треугольной матрицей (3) аналогичны. Таким образом решение СЛАУ после  $LU$ -факторизации потребует выполнения  $O(N^2)$  операций.

## 2 Масштабируемость алгоритма

В данном задании требуется измерить масштабируемость реализации алгоритма, а именно функции `magma_sgetrs_gpu`.

| N     | Итерация |         |         |         |         | mean    | median  |
|-------|----------|---------|---------|---------|---------|---------|---------|
|       | 1        | 2       | 3       | 4       | 5       |         |         |
| 32    | 0.00184  | 0.00219 | 0.00278 | 0.00103 | 0.00271 | 0.00211 | 0.00219 |
| 64    | 0.00234  | 0.00173 | 0.00125 | 0.00242 | 0.00171 | 0.00189 | 0.00173 |
| 128   | 0.00133  | 0.00170 | 0.00176 | 0.00101 | 0.00252 | 0.00166 | 0.00170 |
| 256   | 0.00205  | 0.00199 | 0.00159 | 0.00106 | 0.00169 | 0.00168 | 0.00169 |
| 512   | 0.00076  | 0.00097 | 0.00100 | 0.00078 | 0.00076 | 0.00085 | 0.00078 |
| 1024  | 0.00119  | 0.00156 | 0.00190 | 0.00122 | 0.00118 | 0.00141 | 0.00122 |
| 2048  | 0.00229  | 0.00170 | 0.00183 | 0.00152 | 0.00150 | 0.00177 | 0.00170 |
| 4096  | 0.00168  | 0.00182 | 0.00201 | 0.00209 | 0.00216 | 0.00195 | 0.00201 |
| 8912  | 0.00283  | 0.00216 | 0.00218 | 0.00219 | 0.00218 | 0.00231 | 0.00218 |
| 10240 | 0.00376  | 0.00422 | 0.00283 | 0.00284 | 0.00282 | 0.00329 | 0.00284 |

Таблица 1: Измерения работы функции `magma_sgetrs_gpu` в секундах

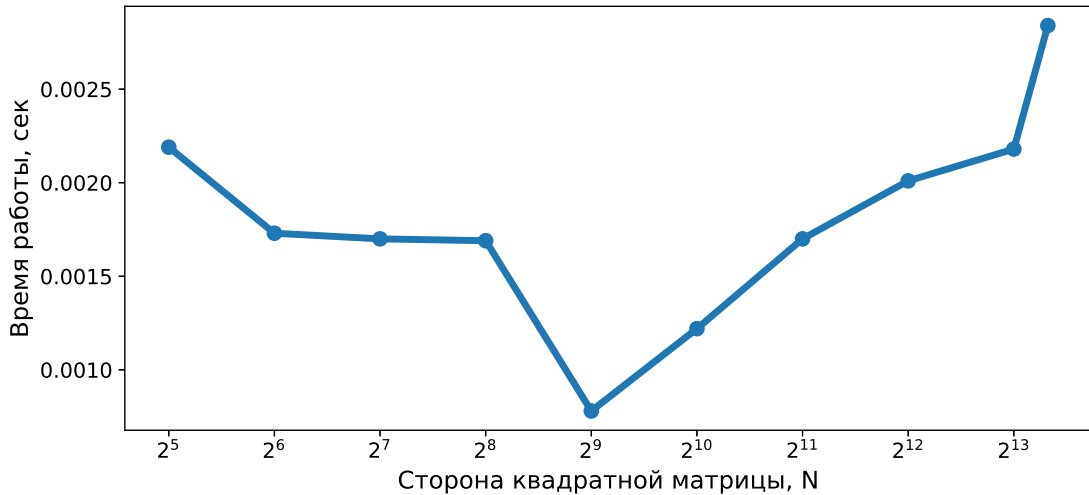


Рис. 2: Зависимость медианного времени работы функции от размеров матрицы

К сожалению, напрямую средствами библиотеки Magma измерить производительность суперкомпьютера не удалось. Однако, т.к. асимптотика задачи известна, можно вычислить производительность с точностью до константы, поделив асимптотическое число операций на среднее время работы алгоритма. Так как тип данных, предусмотренный в варианте, `float`, число операций по-прежнему остается  $O(N^2)$ .

| N                       | 32      | 64      | 128     | 256     | 512     |
|-------------------------|---------|---------|---------|---------|---------|
| mean(ts), s             | 0.00211 | 0.00189 | 0.00166 | 0.00168 | 0.00085 |
| perfomance,<br>Gflops/s | 0.00049 | 0.00217 | 0.00985 | 0.03910 | 0.30696 |

| N                       | 1024    | 2048    | 4096    | 8912     | 10240    |
|-------------------------|---------|---------|---------|----------|----------|
| mean(ts), s             | 0.00141 | 0.00177 | 0.00195 | 0.00231  | 0.00329  |
| perfomance,<br>Gflops/s | 0.74367 | 2.37234 | 8.59489 | 34.41237 | 31.83291 |

Таблица 2: Оценка производительности функции `magma_sgetrs_gpu` в Gflops/s

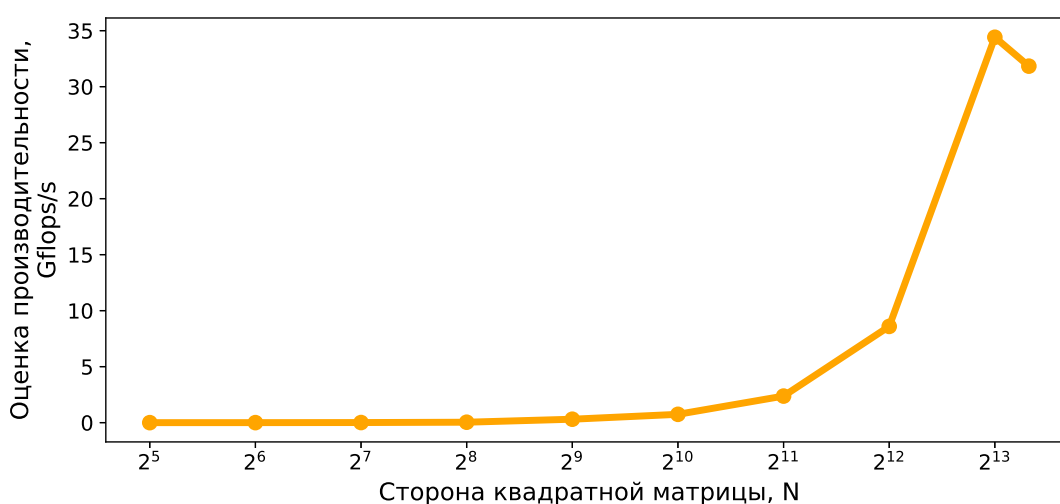


Рис. 3: Зависимость производительности работы функции от размеров матрицы

Результаты были получены на вычислительном комплексе Polus с использованием библиотек: Magma и АЛГЛИБ. На узлах суперкомпьютера Polus установлены по 2 графических ускорителя NVIDIA Tesla P100 GPU. Компиляция программ проходила с использованием компилятора `g++ 4.8.5` и оптимизацией `-O3`.

Из графика 2 видно, что при маленьких размерах матрицы система деградирует – время работы уменьшается, несмотря на увеличение размеров матрицы. Это связано с тем, что накладные расходы на пересылку данных и синхронизацию потоков выполнения превышают полезную нагрузку.

Из графика 3 видно, что при увеличении размеров матрицы производительность постепенно растет, достигает своего пика, а затем немного убывает и выходит на плато. Это связано с тем, что с определенного момента начинает увеличиваться количество обменов данными между RAM и DRAM, поэтому производительность падает.

При конфигурации, описанной выше, оптимальным значением выбрано:  $N = 8912$ .

### 3 Проверка корректности алгоритма

Исходные диагональная матрица  $D$  и вектор правой части  $b$  инициализируются случайными значениями из отрезка  $[-5; 5]$ .

Для проверки того, что полученный  $\hat{x}$  действительно является решением  $x$ , подставим его в исходную систему:

$$A\hat{x} = \hat{b} \quad (4)$$

и рассмотрим норму невязки  $\|b - \hat{b}\|_2$ . Важно понимать, что при такой проверке ошибка достаточно сильно накапливается: первый раз – при решении СЛАУ (получении приближенного решения  $\hat{x}$ ), второй раз – при вычислении  $\hat{b}$ .

| N            | Итерация |         |         |         |         | mean    | median  |
|--------------|----------|---------|---------|---------|---------|---------|---------|
|              | 1        | 2       | 3       | 4       | 5       |         |         |
| <b>32</b>    | 0.00002  | 0.00002 | 0.00002 | 0.00003 | 0.00001 | 0.00002 | 0.00002 |
| <b>64</b>    | 0.00004  | 0.00005 | 0.00003 | 0.00003 | 0.00008 | 0.00005 | 0.00004 |
| <b>128</b>   | 0.00009  | 0.00008 | 0.00188 | 0.00023 | 0.00046 | 0.00055 | 0.00023 |
| <b>256</b>   | 0.00196  | 0.00575 | 0.00160 | 0.00269 | 0.00174 | 0.00275 | 0.00196 |
| <b>512</b>   | 0.00382  | 0.01699 | 0.00300 | 0.01847 | 0.00139 | 0.00873 | 0.00382 |
| <b>1024</b>  | 0.05221  | 0.03051 | 0.01324 | 0.01660 | 0.00738 | 0.02399 | 0.01660 |
| <b>2048</b>  | 0.08376  | 0.09140 | 0.05595 | 0.17878 | 0.06547 | 0.09507 | 0.08376 |
| <b>4096</b>  | 0.23069  | 0.24875 | 0.21867 | 0.23858 | 0.22686 | 0.23271 | 0.23069 |
| <b>8912</b>  | 1.63736  | 1.60046 | 1.48046 | 1.58926 | 1.74936 | 1.61138 | 1.60046 |
| <b>10240</b> | 3.21780  | 2.80067 | 3.28120 | 2.81901 | 2.84314 | 2.99234 | 2.84310 |

Таблица 3: Измерения  $l_2$ -нормы невязки

В таблице 3 видим, что значение нормы невязки увеличивается с ростом  $N$ , при этом норма принимает достаточно маленькие допустимые значения. В связи с этим можно считать, что алгоритм реализован корректно.